

დასავლეთ საქართველოს მყინვარული აუზების მყინვარების და თოვლნარების მორფოლოგიისა და ექსპოზიციის შესწავლის შედეგები თანამგზავრული დისტანციური დაკვირვების საფუძველზე

¹შენგელია ლ., ²კორძახია გ., ²თვაური გ., ³გულიაშვილი გ., ³ძაძამია მ.

¹საქართველოს ტექნიკური უნივერსიტეტის ჰიდრომეტეოროლოგიის ინსტიტუტი

²თბილისის ივ. ჯავახიშვილის სახ. უნივერსიტეტის ელ. ანდრონიკაშვილის ფიზიკის ინსტიტუტი

³გარემოს ეროვნული საგენტო

1. შესავალი

წარმოდგენილია 2010-2020 წწ. დასავლეთ საქართველოს მყინვარული აუზების მყინვარების და თოვლნარების მორფოლოგიაზე და ექსპოზიციაზე თანამგზავრული დისტანციური დაკვირვების შედეგები. ადრეულ კვლევებში, როგორც ხდებოდა კატალოგის მონაცემების თანამგზავრული დისტანციური ზონდირების (თდზ) მხოლოდ ერთი ვადის (2015 წლის) მონაცემებთან შედარება, ამ საკითხზე ყურადღება არ გამახვილებული [1]. ამჟამად შესწავლილია დასავლეთ საქართველოს მყინვარები და მათი მახასიათებლები კატალოგის (ერთი ვადა) [2] და თდზ-ის 2010 (პირობითად, თდზ 1), 2015 (პირობითად, თდზ 2), და 2020 (პირობითად, თდზ 3) წლების (სამი ვადა) მონაცემების მიხედვით. როგორც აღმოჩნდა, მყინვარებზე ოთხივე ვადაზე დაკვირვება მნიშვნელოვანია, რადგან კლიმატის მიმდინარე ცვლილება იწვევს მყინვარების მახასიათებლების ცვლილებას, მათ დეგრადაციას, მცირე ზომის მყინვარების გამოყოფას და მათი მორფოლოგიის ცვლილებას. აუცილებელია განისაზღვროს შეცვლილი მყინვარების ექსპოზიცია, რაც განაპირობებს მათი დნობის სიჩქარეს. 0.1 კმ² მეტი ფართობის ქონე მცირე, საშუალო და დიდი მყინვარები სწრაფად დეგრადირდებიან, იკლებს მათი რაოდენობა და დაკავებული ფართობები. ამავე დროს თოვლნარების (ფართობი – 0.1 კმ²-ზე ნაკლებია) რაოდენობა და დაკავებული ფართობები თვალსაჩინოდ იზრდება, რაც უდაოდ, კლიმატის მიმდინარე ცვლილებას უკავშირდება. დადგენილია, რომ კლიმატის მიმდინარე ცვლილების გამო მიმდინარეობს მყინვარული აუზების დეგრადაცია, დიდი მყინვარების (2 კმ²-ზე მეტი ფართობის) უკანდახევა (ხშირად მცირე ზომის მყინვარების გამოყოფით), საშუალო (0.5-დან 2 კმ²-მდე ფართობის) და მცირე მყინვარების (0.1-დან 0.5 კმ²-მდე ფართობის) [3] დნობა და დანაწევრება. მყინვარების კატალოგში 0.1 კმ² ნაკლები ფართობის მყინვარები (თოვლნარები) არ განიხილება.

2. გამოყენებული მონაცემები, კვლევის მეთოდები

მყინვარების კატალოგით [2] დასავლეთ საქართველოში აღრიცხულია 409 მყინვარი, რომლებიც განთავსებულია ექვს მყინვარულ აუზში (ცხრილი 1). აქედან სამი (ბზიფი, კელასური, კოდორი) მდებარეობს აფხაზეთის ავტონომიურ რესპუბლიკაში.

**ცხრილი 1. დასავლეთ საქართველოში მყინვარების განაწილება
მყინვარულ აუზებში კატალოგის მიხედვით**

| დასავლეთ საქართველო | | | | | | | |
|-----------------------|-------|----------|--------|--------|------------|-------|-----|
| № | 1 | 2 | 3 | 4 | 5 | 6 | 7 |
| მყინვარული აუზი | ბზიფი | კელასური | კოდორი | ენგური | ხობისწყალი | რიონი | სულ |
| მყინვარების რაოდენობა | 13 | 3 | 120 | 196 | 2 | 75 | 409 |

ეს მონაცემები მოყვანილია 1975 წელს გამოცემული მყინვარების კატალოგიდან, რომელიც შედგენილი იქნა საქართველოს მყინვარების საუკუნოვანი, დაწყებული 1860 წლიდან, კვლევების საფუძველზე. კატალოგთან ერთად გამოყენებულია მაღალი გარჩევადობის LANDSAT-ის თანამგზავრებით მოპოვებული სურათები (გარჩევადობა 15–30 მ) სამი ვადისთვის (2010, 2015 და 2020 წლებისათვის), ამასთან გრანტის ფარგლებში ჩვენთვის ხელმისაწვდომი აღმოჩნდა ზემაღალი გარჩევადობის (1.5 მ) SPOT 6 თანამგზავრის 2017-2022 წლების თანამგზავრული სურათები, რომელთა საშუალებით დაზუსტდა დასავლეთ საქართველოს მყინვარების მდებარეობა და დადგინდა მათი თანამედროვე მდგომარეობა. თდზ-ის მონაცემები დამუშავებულია GIS (გეოინფორმაციული სისტემები) ტექნოლოგიების გამოყენებით.

საქართველოში მორფოლოგიური ტიპებისა და ექსპოზიციის მიხედვით მყინვარების განაწილების საკითხს ეხება ნაშრომი [4], თუმცა მხოლოდ ერთი, მდინარე მულხურას აუზისათვის, რომელიც ერთ-ერთი შემადგენელია ენგურის აუზის.

3. კვლევის შედეგები და განხილვა

საქართველოს მყინვარები საკმაოდ მაღალი მყინვარებია (აღწევენ 5200 მეტრს), ამიტომ ისინი მთის მყინვარებს მიეკუთვნებიან. საქართველოს მთის მყინვარების მორფოლოგიური ტიპებია: კარული, კარულ-ხეობის, ხეობის და დაკიდული მყინვარები [2, 3].

კარული მყინვარი შედარებით მცირე ზომის მყინვარია, რომელიც მდებარეობს მთის ფერდობზე თოვლის და ყინულის მოქმედებით წარმოქმნილ თასისმაგვარ ფორმაში – კარში. მყინვარს შეიძლება ეკავოს მთელი კარი, ან მისი გარკვეული ნაწილი და როგორც წესი, პატარა ენით მთავრდებოდეს. კარის გამოსასვლელში იგი შემოფარგლულია ბოლო მორენული სერით. იმ შემთხვევაში, თუ კარული მყინვარი მის ქვემოთ მდებარე ხეობაში ჩადის და მყინვარის ენა საერთო სიგრძის ერთ ან ორ მესამედზე მეტი არ არის ასეთ მყინვარს კარულ-ხეობის ეწოდება. კარული მყინვარის კვებაში დიდ როლს გადაქა- რულ თოვლი და თოვლის ზვავები ასრულებს. ამ დროს ხდება თოვლის კონცენტრაცია მყინვარზე. ამის გამო, რომ ხშირად კარული მყინვარები თოვლის ხაზის ქვემოთ მდებარეობს.

ხეობის მყინვარები ხეობის სათავესა და ხეობის შუა მონაკვეთში მდებარეობს. ხეობის მყინვარი მთის მყინვარია, რომლის ენა ხეობაშია, ხოლო ფირნის აუზი – ხეობის სათავეში თასის მაგვარ ფორმაშია მოთავსებული.

ხეობის მყინვარებს მიეკუთვნება მარტივი ანუ ალპური ტიპის მყინვარები, რომლებიც ერთი ნაკადისგან შედგება, და რთული ანუ დატოტვილი მყინვარები, რომლებიც რამდე-

ნიმე დამოუკიდებელი ტოტისაგან შედგება. აფხაზეთის მყინვარებს შორის არ გვხვდება ხეობის რთული ტიპის მყინვარები. ისინი გვხვდება მხოლოდ მდ. ენგურის აუზში. იმ შემთხვევაში, როდესაც დეტალურად განიხილავენ ცალკეულ დიდ მყინვარს, მაშინ ხდება გამოყოფა მარტივი თუ რთული ხეობის ტიპისაა მყინვარი.

დაკიდული მყინვარი – მცირე ზომისაა, მთის ციცაბო ფერდობზე სუსტად გამოხატულ ჩაღრმავებაში მდებარეობს და მაღლა, ძირითადი ხეობის ფერდობზე მთავრდება. მისი მაღალი მდებარეობის გამო ყინულის დნობა მცირეა. უფრო ხშირად დაკიდული მყინვარის შემცირება მისი ენის ჩამონჯრევით ხდება. ინტენსიური ნგრევის დროს ყინული ფერდობის ძირში გროვდება და განახლებული (აღორძინებული) მყინვარი წარმოიქმნება. დაკიდულ მყინვარებს შეიძლება მივაკუთვნოთ თხემის ახლოს კულუარებში განლაგებული მყინვარებიც.

რაც შეეხება მყინვარების ექსპოზიციას, კატალოგის მსგავსად გვაქვს შემდეგი აღნიშვნები: დასავლეთი – დ, აღმოსავლეთი – ა, სამხრეთი – ს; სამხრეთ-დასავლეთი – სდ; სამხრეთ-აღმოსავლეთი – სა, ჩრდილოეთი – ჩ; ჩრდილო-დასავლეთი – ჩდ; ჩრდილო-აღმოსავლეთი – ჩა.

თდზ ერთადერთი საშუალებაა აფხაზეთის ავტონომიურ რესპუბლიკაში მდებარე მყინვარების თანამედროვე მდგომარეობის შესასწავლად, რადგან ერთი მხრივ არ არსებობს ადგილობრივი გლაციოლოგიური სკოლა და, მეორე მხრივ, დღევანდელი პოლიტიკური მდგომარეობა არ იძლევა ექსპედიციების ჩატარების და მყინვარების საველე პირობებში შესწავლის საშუალებას [5, 6].

აფხაზეთის ავტონომიურ რესპუბლიკაში კატალოგის მიხედვით განლაგებული იყო 136 მყინვარი. ესენია:

- **ბზიფის აუზი** – მდ. ბზიფის აუზის, მთავარი ქედის სამხრეთ ფერდობის №1–7 და ბზიფის ქედის, ჩრდილოეთ ფერდობის №8–13 მყინვარები;
- **კელასურის აუზი** – მდ. კელასურის აუზის, ბზიფის ქედის ჩრდილოეთ ფერდობის №14–16 მყინვარები;
- **კოდორის აუზი** – მდ. კოდორის აუზის მდ. ამტკელის აუზის, ჩხალთის (აფხაზეთის) ქედის ჩრდილოეთ ფერდობის №17, მდ. ჩხალთის აუზის, მთავარი ქედის სამხრეთ ფერდობის №18–60 მყინვარები და №61 მყინვარი ჩხალთის ქედის ჩრდილოეთ ფერდობზე; მდ. კოდორის აუზის, მთავარი ქედის სამხრეთ ფერდობის მყინვარები: მდ. ხეცვარის აუზი №62–68, მდ. გენცვიშის აუზი №69, №70, მდინარე კლიჩის აუზის №71–93, მდ. გვანდრას აუზი №94–112; მდ. კოდორის აუზის, კოდორის ქედის ჩრდილო-დასავლეთ ფერდობის მყინვარები: მდ. საკენის აუზი №113–132, მდ. ალიკვასტას აუზი №133–136.

3.1. აფხაზეთის ავტონომიური რესპუბლიკის მყინვარების მორფოლოგიური ტიპები და ზოგადი ექსპოზიცია

აფხაზეთის მყინვარულ აუზშის მყინვარების ოთხი ვადისათვის მორფოლოგიური ტიპების განაწილება რაოდენობისა და ფართობის მიხედვით წარმოდგენილია მე-2 ცხრილში.

ცხრილი 2. აფხაზეთის ავტონომიური რესპუბლიკის მყინვარების მორფოლოგიური ტიპების განაწილება კატალოგის (ა) და თდზ-ის 2010 (ბ), 2015 (გ),
2020 (დ) წლის მონაცემების მიხედვით.

5

| მყინვარული აუზი | მორფოლოგიური ტიპები | | | | | | | |
|--------------------|---------------------|---------|--------------|---------|-----------|---------|-----------|---------|
| | კატალოგის მიხედვით | | | | | | | |
| | კარული | | კარულ-ხეობის | | ხეობის | | დაკიდული | |
| | რაოდენობა | ფართობი | რაოდენობა | ფართობი | რაოდენობა | ფართობი | რაოდენობა | ფართობი |
| 1 ბზიფი | 11 | 5,5 | 0 | 0 | 1 | 1,3 | 1 | 0,3 |
| 2 კელასური | 3 | 1,5 | 0 | 0 | 0 | 0 | 0 | 0 |
| 3 კოდორი | 97 | 45,0 | 3 | 4,5 | 14 | 16,8 | 6 | 2,8 |
| სულ | 111 | 52 | 3 | 4,5 | 15 | 18,1 | 7 | 3,1 |

6

| მყინვარული აუზი | მორფოლოგიური ტიპები | | | | | | | |
|--------------------|------------------------------|---------|--------------|---------|-----------|---------|-----------|---------|
| | თდზ-ის 2010 წლის მონაცემებით | | | | | | | |
| | კარული | | კარულ-ხეობის | | ხეობის | | დაკიდული | |
| | რაოდენობა | ფართობი | რაოდენობა | ფართობი | რაოდენობა | ფართობი | რაოდენობა | ფართობი |
| 1 ბზიფი | 12 | 3,6 | 0 | 0 | 1 | 0,9 | 2 | 0,4 |
| 2 კელასური | 2 | 0,9 | 0 | 0 | 0 | 0 | 0 | 0 |
| 3 კოდორი | 99 | 28,0 | 4 | 5,6 | 15 | 11,4 | 29 | 4,9 |
| სულ | 113 | 32,5 | 4 | 5,6 | 16 | 12,3 | 31 | 5,3 |

7

| მყინვარული აუზი | მორფოლოგიური ტიპები | | | | | | | |
|--------------------|------------------------------|---------|--------------|---------|-----------|---------|-----------|---------|
| | თდზ-ის 2015 წლის მონაცემებით | | | | | | | |
| | კარული | | კარულ-ხეობის | | ხეობის | | დაკიდული | |
| | რაოდენობა | ფართობი | რაოდენობა | ფართობი | რაოდენობა | ფართობი | რაოდენობა | ფართობი |
| 1 ბზიფი | 8 | 2,1 | 0 | 0 | 1 | 0,8 | 1 | 0,2 |
| 2 კელასური | 1 | 0,7 | 0 | 0 | 0 | 0 | 0 | 0 |
| 3 კოდორი | 85 | 22,7 | 4 | 5,4 | 15 | 9,8 | 20 | 4,1 |
| სულ | 94 | 25,5 | 4 | 5,4 | 16 | 10,6 | 21 | 4,3 |

8

| მყინვარული აუზი | მორფოლოგიური ტიპები | | | | | | | |
|--------------------|------------------------------|---------|--------------|---------|-----------|---------|-----------|---------|
| | თდზ-ის 2020 წლის მონაცემებით | | | | | | | |
| | კარული | | კარულ-ხეობის | | ხეობის | | დაკიდული | |
| | რაოდენობა | ფართობი | რაოდენობა | ფართობი | რაოდენობა | ფართობი | რაოდენობა | ფართობი |
| 1 ბზიფი | 8 | 1,6 | 0 | 0 | 1 | 0,8 | 1 | 0,2 |
| 2 კელასური | 1 | 0,6 | 0 | 0 | 0 | 0 | 0 | 0 |
| 3 კოდორი | 74 | 18,0 | 4 | 4,9 | 15 | 7,8 | 17 | 3,4 |
| სულ | 83 | 20,2 | 4 | 4,9 | 16 | 8,6 | 18 | 3,6 |

ყველაზე დიდი რაოდენობით კატალოგის მიხედვით დასავლეთ საქართველოში გავრცელებულია კარული მყინვარები, სულ 111. თდზ-ის 2010, 2015 და 2020 წლების მონაცემებით მყინვარები დეგრადირდება, ხდება მყინვარების დანაწევრება, მცირე მყინვარე-

ბის გამოყოფა. კარული მყინვარი შეიძლება დანაწევრდეს ორ ან სამ კარულ მყინვარად, ერთ ან ორ დაკიდულ და ერთ ან რამდენიმე თოვლნარად. ამის მაგალითია №117 კარული ტიპის საშუალო მყინვარი, რომელიც 2010 წლისათვის დანაწევრდა 3 კარულ, 1 დაკიდულ მცირე მყინვარებად და ექვს თოვლნარად. 2015 წლისათვის ამ მყინვარიდან მხოლოდ ერთი კარული მცირე მყინვარი და ექვსი თოვლნარი დარჩა, ხოლო 2020 წლისათვის კი – ერთი კარული მცირე მყინვარი და ხუთი თოვლნარია.

ხეობის ტიპის მყინვარი ძირითადად ინარჩუნებს თავის მორფოლოგიას, თუმცა შეიძლება დანაწევრდეს ხეობის და დაკიდულ მყინვარად, აგრეთვე ერთ ან რამდენიმე თოვლნარად.

კარულ-ხეობის მყინვარი სამივე პერიოდში ინარჩუნებს თავის მორფოლოგიას, თუმცა თანმიმდევრულად იკლებს დაკავებული ფართობი. ასევე ინარჩუნებს თავის მორფოლოგიას, დაკიდული მყინვარიც და მხოლოდ დროთა განმავლობაში იკლებს მისი ფართობი (ზოგჯერ გადადის თოვლნარში ან ქრება).

უნდა ითქვას, რომ ყველა თოვლნარი კარული ან დაკიდული მორფოლოგიაა. მე-3 ცხრილის განხილვა გვიჩვენებს, რომ კატალოგში არსებული 136 მყინვარიდან 2010 წლის თანამგზავრული მონაცემებით წარმოიქმნა 60 თოვლნარი და არცერთი მყინვარი არ გამქრალა. 2015 წლისათვის წარმოიქმნა 77 თოვლნარი და გაქრა 36 მყინვარი, ხოლო 2020 წლისათვის წარმოიქმნა 103 თოვლნარი და გაქრა 47 მყინვარი. ასე რომ, 2010 წლიდან თოვლნარების და გამქრალი მყინვარების რაოდენობა ინტენსიურად იზრდება.

მყინვარების კატალოგში 0.1 კმ²-ზე ნაკლები ფართობის მყინვარები (თოვლნარები) არ განიხილება. შესაბამისად არ გვაქვს კატალოგის მონაცემები თოვლნარების ცხრილებში.

ცხრილი 3. აფხაზეთის ავტონომიური რესპუბლიკის თოვლნარებისა და
გამქრალი მყინვარების განაწილება მყინვარული აუზების მიხედვით
თდზ-ის 2010 (I), 2015 (II), 2020 (III) წლის მონაცემებით

| მყინვარული აუზი | თოვლნარები | | | გამქრალი მყინვარები | | |
|--------------------|------------|----|-----|---------------------|----|-----|
| | I | II | III | I | II | III |
| 1 ბზიფი | 3 | 15 | 16 | 0 | 0 | 0 |
| 2 კელასური | 1 | 2 | 2 | 0 | 0 | 0 |
| 3 კოდორი | 56 | 60 | 85 | 0 | 36 | 47 |
| სულ | 60 | 77 | 103 | 0 | 36 | 47 |

კარული მყინვარების რაოდენობა როგორც აღვნიშნეთ კატალოგის მიხედვით იყო 111, 2010 წლის თდზ-ის მიხედვით კი – 113-ია და მომდევნო წლებში მათი რაოდენობა შემცირდა: 2015 წელს იყო 94, 2020 წელს – 83. რაც შეეხება მათ მიერ დაკავებულ ჯამურ ფართობებს, რომელიც კატალოგით 52.0 კმ²-ია, წლების მიხედვით თანდათან მოიკლო: 2010 წელს იყო 32.5 კმ², 2015 წელს – 25.5 კმ², 2020 წ. – 20.2 კმ².

კარულ-ხეობის მყინვარი აფხაზეთში კატალოგით სულ 3 იყო. №31 მყინვარი, რომელიც კატალოგით კარულ ტიპს მიეკუთვნება, 2010 წლის თდზ-ის მიხედვით გარდაიქმნა კარულ-ხეობის მყინვარად და მომდევნო პერიოდებშიც ასეთივე მორფოლოგია შეინარჩუნა. კარულ-ხეობის მყინვარების მიერ დაკავებულ ჯამურ ფართობი, რომელიც კატალოგის მიხედვით 4.5 კმ²-ს შეადგენდა, 2010 წლისათვის 5.6 კმ² აღმოჩნდა, მაგრამ წლების მი-

ხედვით თანდათან მოიკლო და, თუ 2010 წელს 5.6 კმ² იყო, 2015 წელს ეს მაჩვენებელი 5.4 კმ²-მდე შემცირდა, ხოლო 2020 წელს 4.9 კმ² გახდა.

ხეობის მყინვარების რაოდენობა კატალოგით 15 იყო, მათი ჯამური ფართობი კი – 18.1 კმ². ერთ-ერთი მათგანი, №122 მყინვარი, რომელიც კატალოგით საშუალო მყინვარებს მიე-კუთვნებოდა 1.4 კმ² ფართობით, ხეობის ტიპისა იყო და თდზ-ის მონაცემების მიხედვით 2010 წელს ორ, ხეობის ტიპის, მცირე მყინვარად გაიყო, რომელთა ფართობები, 0.4 და 0.3 კმ²-ს შეადგენდა. 2015 წელს თითოეული მათგანის ფართობმა მოიკლო და, შესაბამი-სად, 0.3 და 0.2 კმ²-მდე შემცირდა. 2020 წლის თდზ-ის მიხედვით ორივე მათგანი დანაწევ-რდა 0.1 კმ² ფართობის მცირე მყინვარად და თოვლარად. ასე რომ, ხეობის მყინვარების რაოდენობა 2010 წელს 1-ით გაიზარდა, ხოლო 2015 და 2020 წლებში – იგივე დარჩა. მნიშ-ვნელოვანია, რომ წლების მიხედვით ხეობის ტიპის მყინვარების ჯამური ფართობი იკ-ლებს: 2010 წელს იყო 12.3 კმ², 2015 წელს – 10.6 კმ², 2020 წელს – 8.6 კმ².

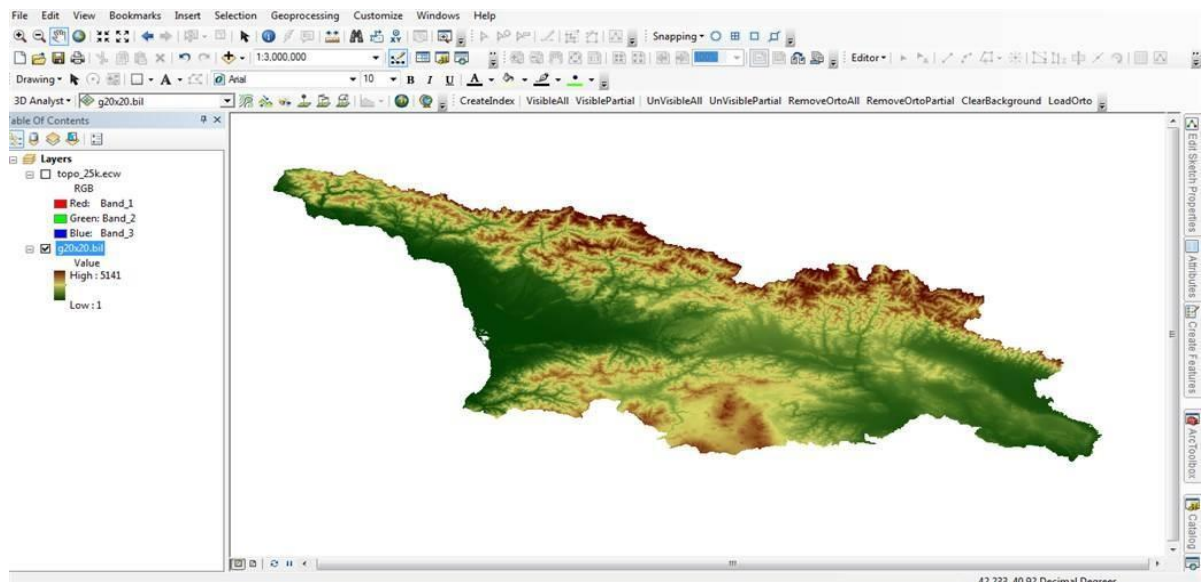
დაკიდული მყინვარების რაოდენობა აფხაზეთში კატალოგის მიხედვით ყველაზე მცი-რეა. ბზიფის აუზში სულ 1 მყინვარია, კელასურის აუზში არ არის დაკიდული მყინვარი, ხოლო კოდორის ხეობაში 6-ია. ბზიფის აუზში 2010 წლისათვის №5 კარულ მყინვარს გამო-ეყო დაკიდული მყინვარი და დაკიდული მყინვარების რაოდენობა გახდა 2, თუმცა მომ-დევნო წლებში ეს მყინვარი თოვლარად გადაიქცა. კოდორის ხეობაში 2010 წლისათვის დაკიდული მყინვარების რაოდენობა გახდა 29. მომდევნო წლებში რაოდენობამ იკლო და 2015 წელს შეადგინა 20, ხოლო 2020 წელს – 17.

კლიმატის მიმდინარე ცვლილების გავლენით 2010 წლისათვის კარული და დაკიდუ-ლი მყინვარების რაოდენობის ზრდა განპირობებული იყო მყინვარების დანაწევრებით და მცირე მყინვარების გამოყოფით. ეს პროცესი შემდგომშიც გაგრძელდა და 2010 წლიდან მა-თი რაოდენობა თანმიმდევრულად შემცირდა.

უნდა აღინიშნოს, რომ უცვლელი რჩება ხეობისა და კარულ-ხეობის ტიპის მყინვარე-ბის რაოდენობა, რაც განპირობებულია მათი მორფოლოგიური თავისებურებით, თუმცა ამ მყინვარების მიერ დაკავებული ფართობები 2010 წელთან შედარებით ასევე თანმიმდევ-რულად შემცირდა.

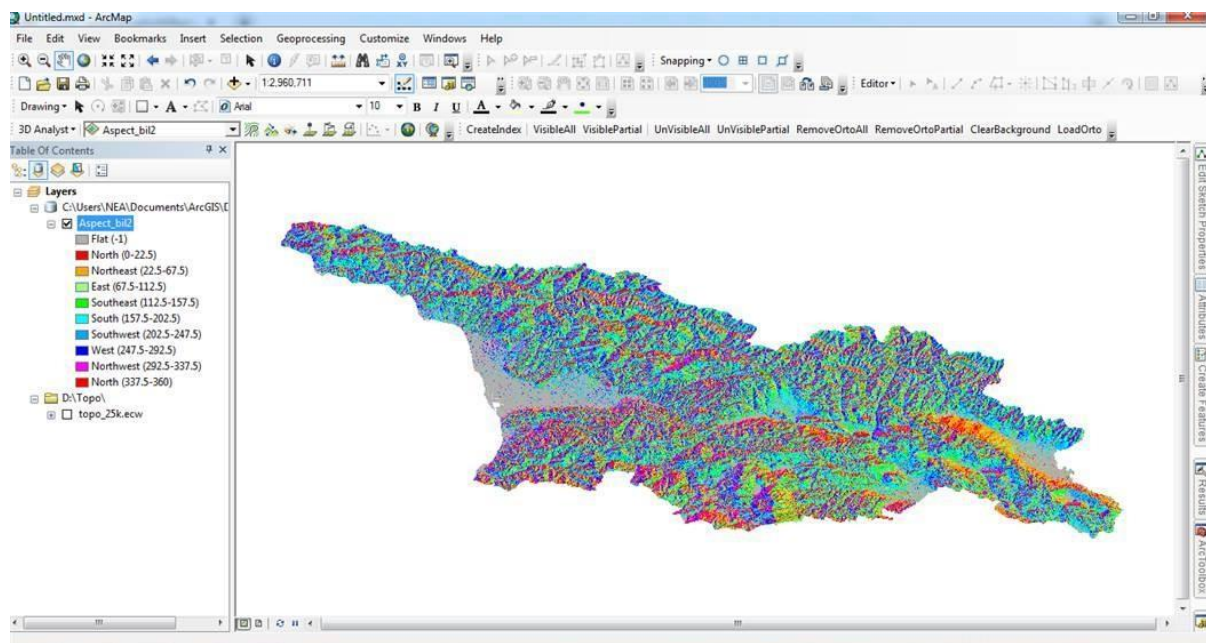
2010 წლიდან აფხაზეთის ყველა მორფოლოგიური ტიპის მყინვარის მიერ დაკავებუ-ლი ფართობი მცირდება, რაც უშუალოდ კლიმატის მიმდინარე ცვლილებას უკავშირდება.

აფხაზეთის მყინვარების ზოგადი ექსპოზიციის საწყისი მონაცემები აღებულია კატა-ლოგიდან, ხოლო 2010, 2015 და 2020 წლის მყინვარების ზოგადი ექსპოზიცია დადგინდა პროგრამა Google Earth-ის გამოყენებით, სადაც ნათლად ჩანს ფერდობების ხეობების მი-მართულება და ექსპოზიცია. პროგრამაში შემოტანილ იქნა აღნიშნული წლების მყინვარე-ბის კონტურები, და მათი საშუალებით შესაძლებელი გახდა ფერდობების ექსპოზიციის დადგენა. აღნიშნული მონაცემები გადამოწმდა Arc Map-ში (Arc Gis) სპეციალურად შექ-მნილი Arc Toolbox ინსტრუმენტების გამოყენებით. მეთოდი ითვალისწინებს საქართვე-ლოს რელიეფის ციფრული სასიმაღლო მოდელით (Digital Elevation Model) ე.წ. DEM-ით იმგვარად დამუშავებას, რომ მიგვეღო საქართველოს ფერდობების ექსპოზიციის რუკა. და-მუშავების დროს გამოყენებულ იქნა საქართველოს რელიეფის ციფრული სასიმაღლო მო-დელი 20X20 გარჩევადობით (ნახ. 1).



ნახ. 1. საქართველოს რელიეფის ციფრული სასიმაღლო მოდელი 20X20 გარჩევადობით.

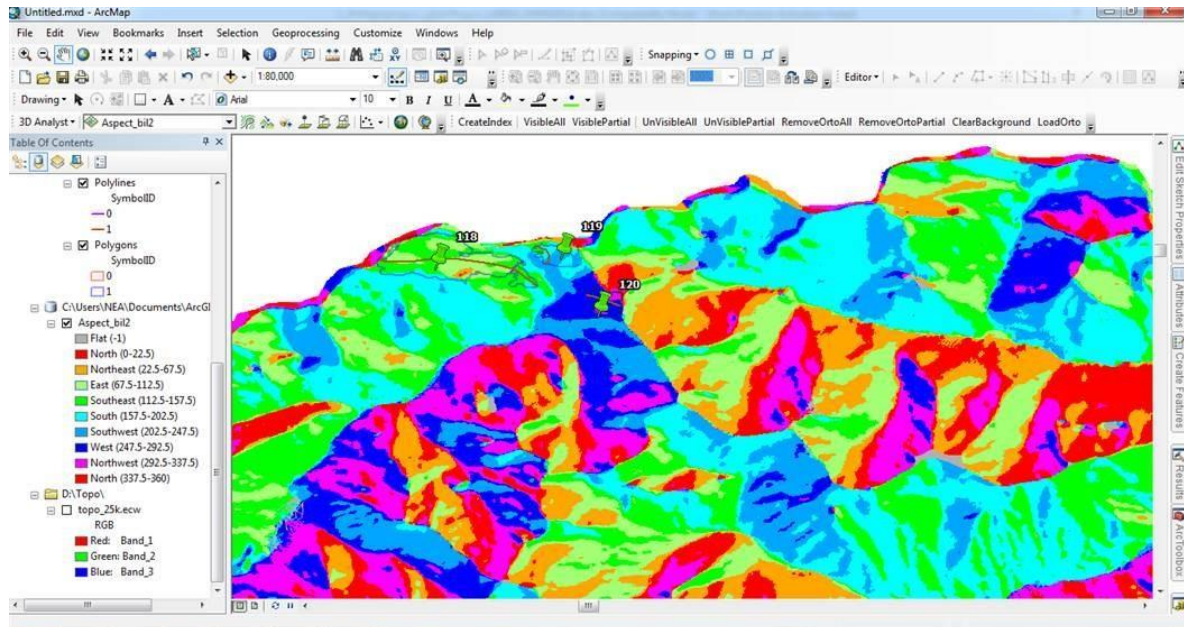
მე-2 ნახ-ზე მოცემულია საქართველოს ფერდობების ექსპოზიციის რუკა. ფერდობების ექსპოზიციის გამოსახულებას აქვს ლეგენდა, სადაც ფერების მიხედვით დეტალურადაა გამოყოფილი ფერდობების ექსპოზიცია: ჩრდილოეთი – წითლით, ჩრდილო-აღმოსავლეთი – ნარინჯისფრით, აღმოსავლეთი – ღია მწვანით, სამხრეთ-აღმოსავლეთი – მწვანით, სამხრეთი – ცისფრით, სამხრეთ დასავლეთი – ღია ლურჯით, დასავლეთი – ლურჯით, ჩრდილ-დასავლეთი – იისფრით.



ნახ. 2. საქართველოს ფერდობების უქსპოზიციის რუკა.

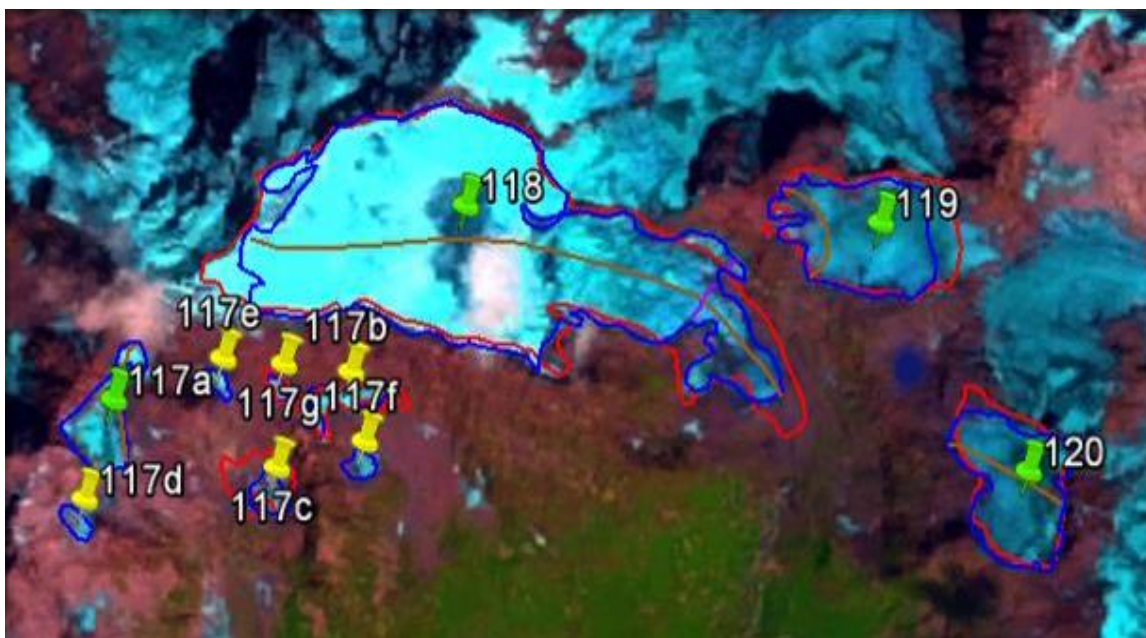
გამოსახულებაში შეტანილია საკვლევი მყინვარების კონტური (წლების მიხედვით) და დადგენილია მათი ექსპოზიცია. მაგალითისათვის მოგვყავს ფერდობების ექსპოზიციის რუკაზე (ნახ. 3) წარმოდგენილია 2015 წლის №118, №119 და №120 მყინვარის კონტურების გამოსახულება. №118 მყინვარის კონტური მოქცეულია მწვანის, №119 – ცისფრისა და

№120 – ლურჯი ფერის არეში, მაშასადამე №118 მყინვარის ექსპოზიცია არის სამხრეთ-აღ-მოსავლეთის, №119-ის – სამხრეთის და №120-ისა – დასავლეთის.



ნახ. 3. საქართველოს ფერდობების ექსპოზიციის რუკაზე დატანილი 2015 წლის №118, №119 და №120 მყინვარის კონტურები.

აქვე წარმოგიდგენთ №118, №119 და №120 მყინვარის კონტურებს (ნახ. 4).



ნახ. 4. №118, №119 და №120 მყინვარის კონტურები Landsat 7 ETM+ სენსორის 2015 წლის 6 სექტემბრის სურათის მიხედვით.

აღნიშნული მეთოდი აპრობირებული და მიღებულია მსოფლიოში, ეს მეთოდი პრაქტიკულად გამორიცხავს შეცდომებს მყინვარების ექსპოზიციის შესწავლის დროს.

მყინვარების ექსპოზიციის შესწავლას დიდი მნიშვნელობა აქვს მყინვარების დნობის საკითხთან მიმართებაში. კვლევისათვის აფხაზეთის მყინვარული აუზების მიხედვით,

მყინვარების ოთხი ვადისათვის შედგენილ იქნა მყინვარების ზოგადი ექსპოზიციის განაწილების ცხრილი (ცხრილი 4).

ცხრილი 4. აფხაზეთის ავტონომიური რესპუბლიკის მყინვარების განაწილება ზოგადი ექსპოზიციის მიხედვით კატალოგის (ა) და თაღზ-ის 2010 (ბ), 2015 (გ), 2020 (დ) წლის მონაცემებით.

5

| მყინვარული აუზი | ზოგადი ექსპოზიცია | | | | | | | | | | | | | | | | | | | | | | | | | | | | | | | | |
|--------------------|--------------------|-----|----|------|----|-----|----|-----|---------|---------|---------|---------|---------|---------|---------|---------|---------|---------|---------|---------|---------|---------|------|----|-----|----|------|----|-----|----|-----|----|-----|
| | კატალოგის მიხედვით | | | | | | | | | | | | | | | | | | | | | | | | | | | | | | | | |
| | ჩ | ს | ღ | ა | ჩდ | ჩა | სდ | სა | რაოდენ. | ფართობი | | | | | | | | | | | |
| 1 ბზიფი | 6 | 2,7 | 0 | 0 | 3 | 2,6 | 0 | 0 | 0 | 0 | 0 | 0 | 0 | 0 | 4 | 1,8 | 0 | 0 | 0 | 0 | 0 | 0 | | | | | | | | | | | |
| 2 კელასური | 0 | 0 | 0 | 0 | 0 | 0 | 0 | 0 | 0 | 0 | 0 | 3 | 1,5 | 0 | 0 | 0 | 0 | 0 | 0 | 0 | 0 | 0 | | | | | | | | | | | |
| 3 კოდორი | 11 | 4,5 | 20 | 13,8 | 23 | 9,9 | 14 | 8,6 | 25 | 14,2 | 9 | 8,0 | 7 | 3,1 | 11 | 8,8 | სულ | 17 | 7,2 | 20 | 13,8 | 26 | 12,5 | 14 | 8,6 | 25 | 14,2 | 11 | 9,5 | 11 | 4,9 | 11 | 8,8 |

6

| მყინვარული აუზი | ზოგადი ექსპოზიცია | | | | | | | | | | | | | | | | | | | | | | | | | | | | | | | | |
|--------------------|-------------------------------|-----|----|-----|----|-----|----|-----|---------|---------|---------|---------|---------|---------|---------|---------|---------|---------|---------|---------|---------|---------|-----|----|-----|----|------|----|-----|----|-----|----|-----|
| | თაღზ-ის 2010 წლის მონაცემებით | | | | | | | | | | | | | | | | | | | | | | | | | | | | | | | | |
| | ჩ | ს | ღ | ა | ჩდ | ჩა | სდ | სა | რაოდენ. | ფართობი | | | | | | | | | | | |
| 1 ბზიფი | 6 | 1,6 | 0 | 0 | 4 | 1,7 | 0 | 0 | 1 | 0,1 | 0 | 0 | 4 | 1,5 | 0 | 0 | 0 | 0 | 0 | 0 | 0 | 0 | | | | | | | | | | | |
| 2 კელასური | 0 | 0 | 0 | 0 | 0 | 0 | 0 | 0 | 0 | 0 | 2 | 0,9 | 0 | 0 | 0 | 0 | 0 | 0 | 0 | 0 | 0 | 0 | | | | | | | | | | | |
| 3 კოდორი | 12 | 2,7 | 17 | 8,8 | 25 | 6,2 | 13 | 6,3 | 28 | 10,1 | 17 | 5,4 | 12 | 2,9 | 23 | 8,0 | სულ | 18 | 4,3 | 17 | 8,8 | 29 | 7,9 | 13 | 6,3 | 29 | 10,2 | 19 | 6,3 | 16 | 4,4 | 23 | 8,0 |

7

| მყინვარული აუზი | ზოგადი ექსპოზიცია | | | | | | | | | | | | | | | | | | | | | | | | | | | | | | | | |
|--------------------|-------------------------------|-----|----|-----|----|-----|----|-----|---------|---------|---------|---------|---------|---------|---------|---------|---------|---------|---------|---------|---------|---------|-----|----|-----|----|-----|----|-----|----|-----|----|-----|
| | თაღზ-ის 2015 წლის მონაცემებით | | | | | | | | | | | | | | | | | | | | | | | | | | | | | | | | |
| | ჩ | ს | ღ | ა | ჩდ | ჩა | სდ | სა | რაოდენ. | ფართობი | | | | | | | | | | | |
| 1 ბზიფი | 2 | 0,9 | 0 | 0 | 1 | 0,2 | 0 | 0 | 0 | 0 | 1 | 0,1 | 4 | 1,1 | 0 | 0 | 0 | 0 | 0 | 0 | 0 | 0 | | | | | | | | | | | |
| 2 კელასური | 0 | 0 | 0 | 0 | 0 | 0 | 0 | 0 | 0 | 0 | 1 | 0,7 | 0 | 0 | 0 | 0 | 0 | 0 | 0 | 0 | 0 | 0 | | | | | | | | | | | |
| 3 კოდორი | 12 | 1,9 | 15 | 7,8 | 19 | 5,2 | 12 | 5,4 | 25 | 8,6 | 16 | 4,5 | 10 | 2,5 | 15 | 6,1 | სულ | 14 | 2,8 | 15 | 7,8 | 20 | 5,4 | 12 | 5,4 | 25 | 8,6 | 18 | 5,3 | 14 | 3,6 | 15 | 6,1 |

გ

| მყინვარული აუზი | | ზოგადი ექსპოზიცია | | | | | | | | | | | | | | | | | |
|--------------------|----------|------------------------------|---------|---------|---------|---------|---------|---------|---------|---------|---------|---------|---------|---------|---------|---------|---------|---------|---------|
| | | თდზ-ის 2020 წლის მონაცემებით | | | | | | | | | | | | | | | | | |
| | | ჩ | | ს | | ღ | | ა | | ჩდ | | | ჩა | | | სდ | | სა | |
| რაოდენ. | ფართიში | რაოდენ. | ფართიში | რაოდენ. | ფართიში | რაოდენ. | ფართიში | რაოდენ. | ფართიში | რაოდენ. | ფართიში | რაოდენ. | ფართიში | რაოდენ. | ფართიში | რაოდენ. | ფართიში | რაოდენ. | ფართიში |
| 1 | ბზიფი | 1 | 0,8 | 0 | 0 | 4 | 1,0 | 0 | 0 | 0 | 0 | 1 | 0,1 | 4 | 0,6 | 0 | 0 | | |
| 2 | კელასური | 0 | 0 | 0 | 0 | 0 | 0 | 0 | 0 | 0 | 0 | 1 | 0,6 | 0 | 0 | 0 | 0 | | |
| 3 | კოდორი | 10 | 1,1 | 13 | 6,6 | 16 | 4,0 | 11 | 4,5 | 27 | 7,4 | 12 | 3,5 | 10 | 2,1 | 11 | 4,9 | | |
| სულ | | 11 | 1,9 | 13 | 6,6 | 20 | 5,0 | 11 | 4,5 | 27 | 7,4 | 14 | 4,2 | 14 | 2,7 | 11 | 4,9 | | |

როგორც ამ ცხრილიდან ჩანს აფხაზეთის მყინვარების ზოგადი ექსპოზიციის უპირატესი მიმართულება, როგორც კატალოგით, ისე თდზ-ის მიხედვით სამივე ვადისათვის ჩრდილო-დასავლეთისა და დასავლეთისაა. ბუნებრივია, რომ ეს მიმართულებები ემთხვევა აფხაზეთის მხრიდან საქართველოში ჰაერის მასების შემოჭრის მიმართულებას, რაც განაპირობებს აფხაზეთის მთიან რეგიონებში სინოპტიკური პროცესების განვითარებას, რომლებიც დაკავშირებულია უხვი ნალექების მოსვლასთან.

აფხაზეთის 136 მყინვარიდან 120 კოდორის აუზშია (ცხრილი 1). კოდორის აუზი კავკასიონის სამხრეთ ფერდობზე მდებარეობს და მყინვარებიც მირითადად სამხრეთული ექსპოზიციის (ს, სდ, სა) უნდა იყვნენ, თუმცა როგორც მე-4 ცხრილიდან ჩანს ოთხივე ვადაზე ჩრდილოური ექსპოზიციის (ჩ, ჩდ, ჩა) მყინვარების რაოდენობა სჭარბობს. კატალოგის მიხედვით, ჩრდილოური ექსპოზიციის მყინვარების მიერ დაკავებული ფართობებიც მეტია, თუმცა 2010 წლიდან უკვე, სამხრეთული ექსპოზიციის მყინვარებით დაკავებული ფართობებია მეტი. ჩრდილოური ექსპოზიციის მყინვარების უპირატესი გავრცელება აიხსნება მათი მდებარეობით კავკასიონის შტო ქედებზე, რომელთა მიმართულება განედური ან სუბგანედურია [3] და ეს მყინვარები 2010 წლიდან უფრო მცირე ფართობებით ხასიათდებიან, ვიდრე სამხრეთული ექსპოზიციის მყინვარები.

მნიშვნელოვანია იმის აღნიშვნა, რომ კლიმატის ცვლილებით განპირობებული მყინვარების დეგრადაციის შედეგად წარმოქმნილი თოვლნარებიდან 2020 წლისათვის ყველაზე მეტად მოიმატა ჩრდილოეთის ექსპოზიციის თოვლნარების რაოდენობამ, 2010 წელს იყო 8 და 2020 წელს გახდა 23, ანუ 65%-ით გაიზარდა. ასევე დასავლეთის ექსპოზიციის თოვლნარები გაიზარდა 61%-ით, სამხრეთ – აღმოსავლეთის ექსპოზიციის, კი – 54%-ით (ცხრილი 5).

ცხრილი 5. აფხაზეთის თოვლნარების განაწილება ზოგადი ექსპოზიციის მიხედვით
თდზ-ის 2010 (I), 2015 (II), 2020 (III) წლის მონაცემებით.

| მყინვარული აუზი | | თოვლნარების ზოგადი ექსპოზიცია | | | | | | | | | | | | | | | | | | | | | | | |
|--------------------|----------|-------------------------------|----|-----|---|----|-----|---|----|-----|---|----|-----|----|----|-----|----|----|-----|----|----|-----|----|----|----|
| | | ჩ | | | ს | | | ღ | | | ა | | | ჩდ | | | ჩა | | | სდ | | | | | |
| | | I | II | III | I | II | III | I | II | III | I | II | III | I | II | III | I | II | III | I | II | III | | | |
| 1 | ბზიფი | - | - | - | - | - | - | - | - | - | - | - | - | 3 | 3 | 3 | - | - | - | - | - | - | | | |
| 2 | კელასური | - | - | - | - | - | - | - | - | - | - | - | - | 1 | 2 | 2 | - | - | - | - | - | - | | | |
| 3 | კოდორი | 8 | 15 | 23 | 3 | 5 | 4 | 7 | 11 | 18 | 5 | 5 | 8 | 10 | 10 | 10 | 8 | 8 | 10 | 2 | 3 | 5 | 13 | 15 | 20 |
| სულ | | 8 | 15 | 23 | 3 | 5 | 4 | 7 | 11 | 18 | 5 | 5 | 8 | 10 | 10 | 10 | 12 | 13 | 15 | 2 | 3 | 5 | 13 | 15 | 20 |

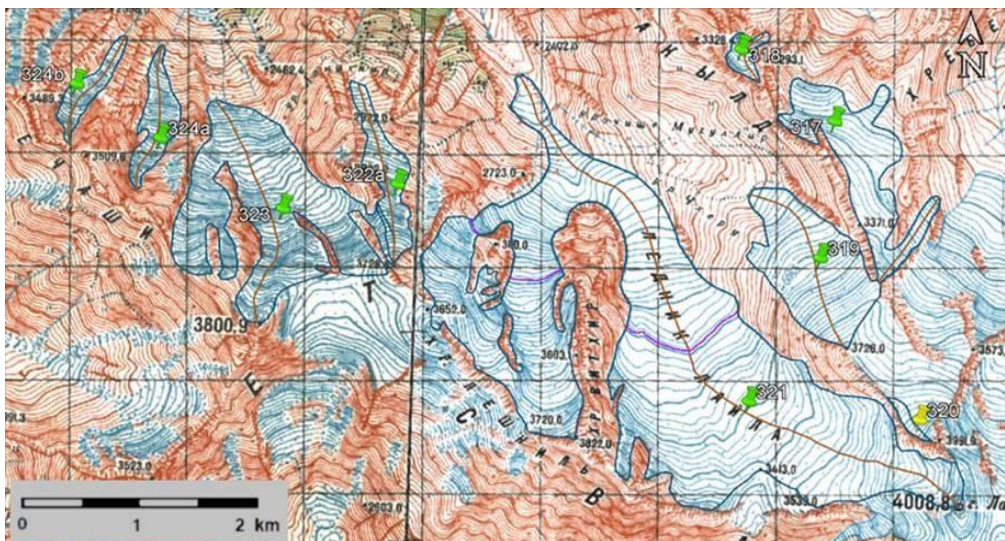
3.2. მდ. ენგურის აუზის მყინვარების და თოვლნარების მორფოლოგიური ტიპები და ზოგადი ექსპოზიცია

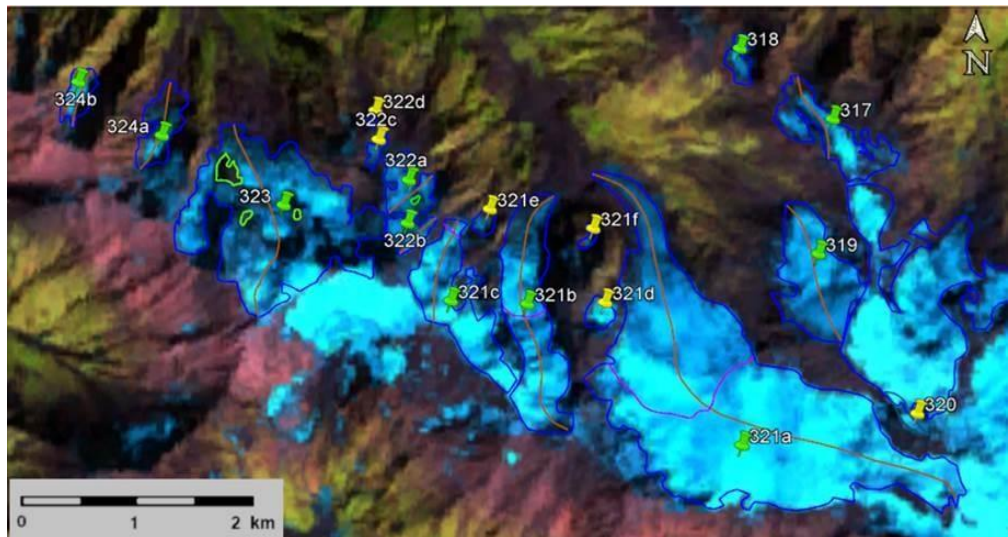
მე-6 ცხრილში წარმოდგენილია მდ. ენგურის აუზის მყინვარების მორფოლოგიური ტიპების განაწილება შესწავლის ოთხი ვადისათვის, რაოდენობისა და ფართობის მიხედვით [7].

ცხრილი 6. მდ. ენგურის აუზის მყინვარების მორფოლოგიური ტიპების განაწილება კატალოგის, თდზ 1-ის (2010 წ.), თდზ 2-ის (2015 წ.), თდზ 3-ის (2020 წ.) მონაცემებით, რაოდენობისა და ფართობის მოხედვით.

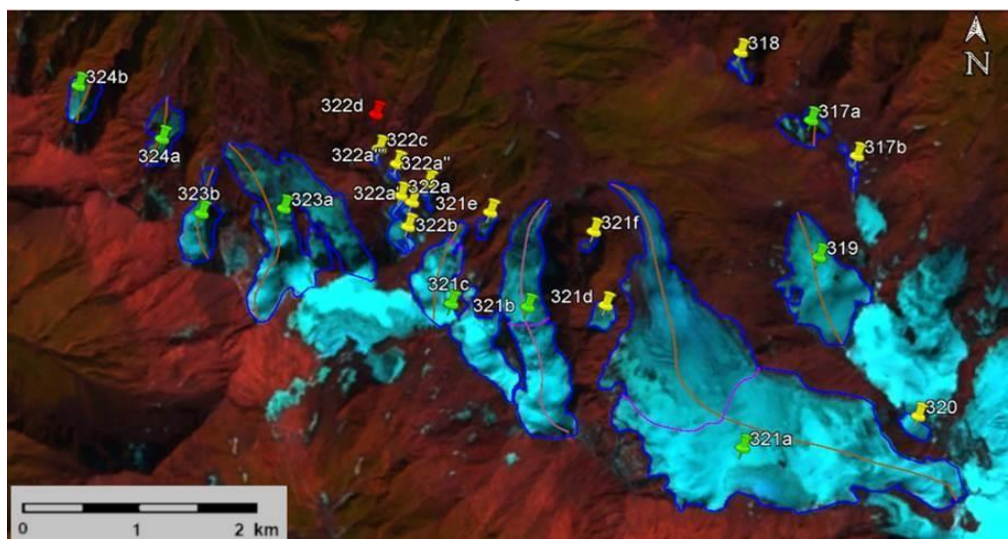
| მონაცემები | მორფოლოგიური ტიპები | | | | | | | |
|------------|---------------------|-------|--------------|-------|--------|-------|----------|-------|
| | ხეობის | | კარულ-ხეობის | | კარული | | დაკიდული | |
| | რაოდ. | ფართ. | რაოდ. | ფართ. | რაოდ. | ფართ. | რაოდ. | ფართ. |
| კატალოგით | 79 | 275,1 | 58 | 25,2 | 43 | 12,8 | 16 | 5,6 |
| თდზ 1 | 86 | 233,7 | 40 | 14,3 | 61 | 10,7 | 58 | 11,2 |
| თდზ 2 | 85 | 199,1 | 33 | 7,8 | 46 | 6,5 | 56 | 8,4 |
| თდზ 3 | 83 | 181,8 | 26 | 4,9 | 34 | 4,3 | 41 | 6,1 |

ცხრილიდან ჩანს, რომ მდ. ენგურის აუზში კატალოგის მიხედვით ყველაზე დიდი რაოდენობითაა წარმოდგენილი ხეობის ტიპის მყინვარები, შემდეგ მოდის კარულ-ხეობის და კიდევ უფრო ნაკლები – კარული. ყველაზე ნაკლები რაოდენობითაა დაკიდული მყინვარები. 2010 წელს ხეობის ტიპის მყინვარების რაოდენობამ მოიმატა მყინვარების დანაწევრების გამო. მაგალითად, მყინვარი ლაილა (№321), რომელიც კატალოგით და ტოპოგრაფიით (ნახ. 5, ა) ხეობის ტიპის მყინვარია, 2010 წელს (ნახ. 5, ბ) დანაწევრდა სამ ხეობის ტიპის მყინვარად და სამ თოვლნარად. 2015 წელს სამივე მყინვარმა შეინარჩუნა მორფოლოგია, თუმცა ფართობები შემცირდა (ნახ. 5, გ), ხოლო 2020 წელს 321c მყინვარი დანაწევრდა ორ მყინვარად და ერთ თოვლნარად (ნახ. 5, დ). 2010 წელს განვიხილავთ 2011 წლის, 2015 წელს – 2017 და 2020 წელს 2022 წლის ხელმისაწვდომი უახლოესი თდზ მონაცემით.

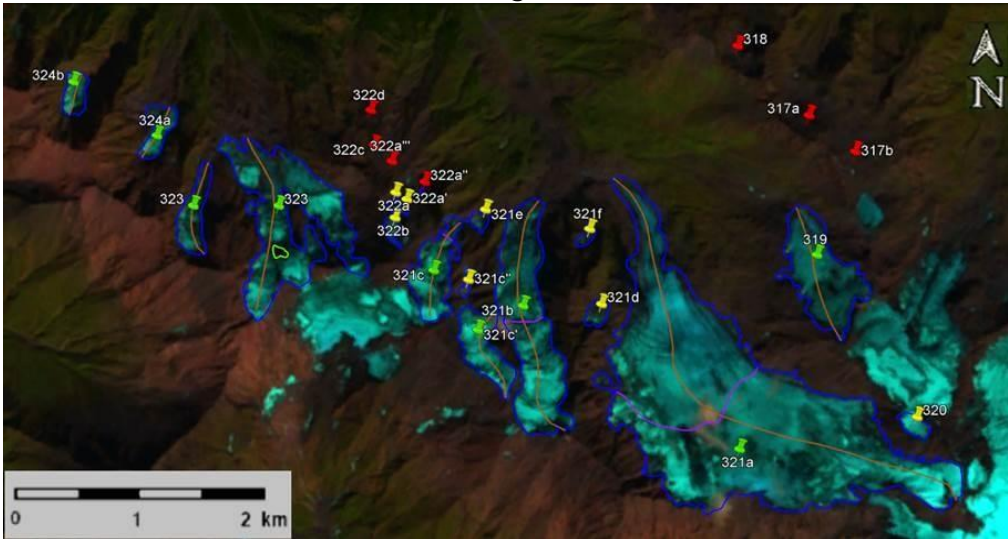




ბ



გ



დ

ნახ. 5. №317-324 მყინვარის კონტურები: а) ტოპოგრაფიული რუსის მიხედვით, б) LANDSAT5 TM სენსორის 2011 წლის 19 სექტემბრის სურათის მიხედვით, გ) LANDSAT 8 OLI TIRS სენსორის 2017 წლის 12 სექტემბერის სურათის მიხედვით, დ) LANDSAT 8 OLI TIRS სენსორის 2022 წლის 11 სექტემბრის სურათის მიხედვით.

მე-5 ნახ.-ზე მწვანე ქინძისთავებით აღნიშნულია მყინვარები, ყვითლით – თოვლნარები, ხოლო წითლით – გამქრალი მყინვარები.

ხეობის ტიპის მყინვარი ძირითადად ინარჩუნებს თავის მორფოლოგიას, თუმცა შეიძლება დანაწევრდეს ხეობის, კარულ და დაკიდულ მყინვარად, აგრეთვე ერთ ან რამდენიმე თოვლნარად.

თდგ-ის 2010, 2015 და 2020 წლების მონაცემებით კარული ტიპის მყინვარები დეგრადირდა, ხდება მათი დანაწევრება კარულ და დაკიდულ მცირე მყინვარებად, ზოგჯერ თოვლნარების გამოყოფით ან გაქრობით.

კარულ-ხეობის ტიპის მყინვარები ძირითადად ინარჩუნებს თავის მორფოლოგიას, ზოგჯერ ხდება მათი დანაწევრება კარულ და დაკიდულ მცირე მყინვარებად. თუმცა წლების მიხედვით თანმიმდევრულად იკლებს მათ მიერ დაკავებული ფართობი და რამდენიმე შემთხვევაში გადადის თოვლნარში ან ქრება. დასაკორექტირებელია №317 მყინვარის კატალოგში აღნიშნული მორფოლოგიური ტიპის მნიშვნელობა, რადგან მას კატალოგის მიხედვით კარულ-ხეობის ტიპის მორფოლოგია აქვს, ხოლო ტოპოგრაფიული რუკის მიხედვით – ხეობისა (ნახ. 5, ა). ხეობის ტიპის მორფოლოგიას №317 მყინვარი ინარჩუნებს 2010 წელსაც (ნახ. 5, ბ). 2015 წელს იგი იყოფა ნაკლები ფართობის ხეობის ტიპის მყინვარად და თოვლნარად (ნახ. 5, გ), ხოლო შემდეგ ვადაზე ორივე (№317a და №317b) ქრება (ნახ. 5, დ). მაშასადამე №317 მყინვარის კატალოგით მორფოლოგიის მნიშვნელობა უნდა დაკორექტირდეს.

აღსანიშნავია, რომ ასევე ინარჩუნებს თავის მორფოლოგიას დაკიდული მყინვარიც, თუმცა დროთა განმავლობაში იკლებს მისი ფართობი, ზოგჯერ გადადის თოვლნარში ან ქრება.

2010 წლისათვის მყინვარების დეგრადაციის გამო ყველა მორფოლოგიური ტიპის მყინვარის რაოდენობა მატულობს, მაგრამ შემდეგ პერიოდებში ხდება მყინვარებით დაკავებული ჯამური ფართობების კლება.

მე-3 ცხრილში წარმოდგენილია მდ. ენგურის აუზის მყინვარების ზოგადი ექსპოზიციის განაწილება კატალოგის, თდგ-1-ის (2010 წ.), თდგ-2-ის, (2015 წ.), თდგ-3-ის (2020 წ.) მონაცემებით,

რაოდენობისა და ფართობის მიხედვით

| მონაცემები | ზოგადი ექსპოზიცია | | | | | | | | | | | | | | | |
|------------|-------------------|---------|---------|---------|---------|---------|---------|---------|---------|---------|---------|---------|---------|---------|---------|------|
| | ჩ | | ს | | დ | | ა | | ჩდ | | ჩა | | სდ | | სა | |
| რაოდენ. | ფართობი | რაოდენ. | ფართობი | რაოდენ. | ფართობი | რაოდენ. | ფართობი | რაოდენ. | ფართობი | რაოდენ. | ფართობი | რაოდენ. | ფართობი | რაოდენ. | ფართობი | |
| კატალოგით | 50 | 42,5 | 37 | 59,8 | 14 | 16,7 | 26 | 28,5 | 25 | 27,7 | 17 | 45,0 | 8 | 58,7 | 19 | 39,8 |
| თდგ-1 | 59 | 34,9 | 40 | 55,1 | 13 | 12,0 | 29 | 21,9 | 38 | 26,1 | 23 | 26,8 | 23 | 59,2 | 25 | 34,2 |
| თდგ-2 | 49 | 25,3 | 38 | 47,8 | 10 | 9,6 | 22 | 17,0 | 33 | 21,3 | 22 | 21,8 | 25 | 53,8 | 21 | 29,0 |
| თდგ-3 | 43 | 18,7 | 28 | 42,2 | 9 | 8,7 | 15 | 14,7 | 29 | 15,0 | 21 | 18,5 | 19 | 50,6 | 18 | 26,8 |

ამ ცხრილიდან ჩანს, რომ მდ. ენგურის აუზის მყინვარების ზოგადი ექსპოზიციის უპირატესი მიმართულება როგორც კატალოგით (ერთი ვადა), ისე თდზ-ის მიხედვით სამივე ვადისათვის არის ჩრდილოეთის, შემდეგ – სამხრეთის. ყველაზე ნაკლებია დასავლეთის ექსპოზიციის მყინვარები. ყველაზე მეტი ფართობი უკავიათ სამხრეთის და სამხრეთ-დასავლეთის ექსპოზიციის მყინვარებს.

ბუნებრივია, რომ ეს მიმართულებები (სამხრეთის და სამხრეთ-დასავლეთის) ემთხვევა მდ. მდ. ენგურის მყინვარულ აუზში ჰაერის მასების შემოჭრის უპირატეს მიმართულებას, რაც განაპირობებს ამ მთიან რეგიონებში იმ სინოპტიკური პროცესების განვითარებას, რომლებიც დაკავშირებულია უხვი ნალექების მოსვლასთან, მყინვარების კვებასა და განვითარებასთან.

ცნობილია, რომ მყინვარების დეგრადაცია იწვევს თოვლნარების რაოდენობის ზრდას. ყველა თოვლნარი კარული ან დაკიდული მორფოლოგიისაა. კატალოგით მდ. ენგურის აუზში არსებული 196 მყინვარიდან 2010 წლის თანამგზავრული მონაცემებით წარმოიქმნა 47 თოვლნარი და გაქრა 4 მყინვარი, მაგრამ 2015 წლის მონაცემით წარმოიქმნა 183 და გაქრა 18 მყინვარი, ხოლო 2020 წლისათვის მდ. ენგურის აუზში 160 თოვლნარი და 89 გამქრალი მყინვარია (ცხრილი 8).

ცხრილი 8. მდ. ენგურის აუზის თოვლნარებისა და გამქრალი მყინვარების განაწილება
თდზ 1-ის (2010 წ.), თდზ 2-ის (2015 წ.), თდზ 3-ის (2020 წ.) მონაცემებით.

| მონაცემები | თოვლნარები | გამქრალი მყინვარები |
|------------|------------|---------------------|
| თდზ 1 | 47 | 4 |
| თდზ 2 | 183 | 18 |
| თდზ 3 | 160 | 89 |

ასე, რომ 2010 წლიდან მდ. ენგურის აუზში თოვლნარებისა და გამქრალი მყინვარების რაოდენობა ინტენსიურად იზრდება.

როგორც ზემოთ აღვნიშნეთ, მყინვარების კატალოგში 0.1 კმ² ნაკლები ფართობის მყინვარები (თოვლნარები) არ განიხილება. შესაბამისად არ გვაქვს კატალოგის მონაცემები თოვლნარების ცხრილებში.

მნიშვნელოვანია იმის აღნიშვნა, რომ სამივე ვადაზე კლიმატის ცვლილებით განპირობებული მყინვარების დეგრადაციის შედეგად წარმოქმნილი თოვლნარებიდან ყველაზე მეტი იყო ჩრდილოეთის ექსპოზიციის, ხოლო მსგავსად მყინვარებისა, ყველაზე ნაკლები იყო დასავლეთის ექსპოზიციის თოვლნარები (ცხრილი 9).

ცხრილი 9. მდ. ენგურის აუზის თოვლნარების ზოგადი ექსპოზიციის განაწილება
თდზ 1-ის (2010 წ.), თდზ 2-ის (2015 წ.), თდზ 3-ის (2020 წ.) მონაცემების მიხედვით.

| მონაცემები | თოვლნარების ზოგადი ექსპოზიცია | | | | | | | |
|------------|-------------------------------|----|---|----|----|----|----|----|
| | ჩ | ს | დ | ა | ჩდ | ჩა | სდ | სა |
| თდზ 1 | 14 | 5 | 0 | 7 | 8 | 5 | 6 | 2 |
| თდზ 2 | 51 | 26 | 1 | 25 | 27 | 24 | 14 | 14 |
| თდზ 3 | 29 | 26 | 4 | 23 | 26 | 26 | 17 | 10 |

საქართველოში მყინვარები ყველაზე დიდი რაოდენობითაა (196) მდ. ენგურის აუზში (ცხრილი 1). კატალოგის მიხედვით მდ. ენგურის აუზში ყველაზე მეტია ხეობის ტიპის მყინვარები, შემდეგ კარულ-ხეობის და კიდევ უფრო ნაკლები – კარული. ყველაზე ნაკლები რაოდენობითაა დაკიდული მყინვარები. 2010 წლს მყინვარების დანაწევრების გამო ხეობის ტიპის მყინვარების რაოდენობა მატულობს. კარულ-ხეობის ტიპის მყინვარები ძირითადად ინარჩუნებს თავის მორფოლოგიას, ზოგჯერ ხდება მათი დანაწევრება კარულ და დაკიდულ მცირე მყინვარებად. თუმცა წლების მიხედვით თანმიმდევრულად იკლებს დაკავებული ფართობი და რამდენიმე შემთხვევაში გადადის თოვლნარში ან ქრება. 2010 წლისათვის მყინვარების დეგრადაციის გამო ყველა მორფოლოგიური ტიპის მყინვარის რაოდენობა მატულობს, თუმცა შემდეგ პერიოდებში იკლებს, შესაბამისად, მყინვარებით დაკავებული ჯამური ფართობებიც იკლებს.

მდ. ენგურის აუზის მყინვარებზე კლიმატის მიმდინარე ცვლილების შედეგია, რომ მყინვარების ფართობები ყველა ექსპოზიციის მყინვარისათვის კატალოგის მონაცემებთან შედარებით 2010 წლიდან მოყოლებული თანმიმდევრულად იკლებს. მდ. ენგურის აუზის მყინვარების ზოგადი ექსპოზიციის უპირატესი მიმართულება როგორც კატალოგით, ისე თდზ-ის მიხედვით სამივე ვადისათვის არის ჩრდილოეთის, შემდეგ – სამხრეთის. ყველაზე ნაკლებია დასავლეთის ექსპოზიციის მყინვარები. იგივეა თოვლნარების შემთხვევაშიც.

მიუხედავად იმისა, რომ მდ. ენგურის აუზში გამყინვარების უმთავრეს კერას კავკასიონის სამხრეთ ფერდობი წარმოადგენს, რაოდენობის მიხედვით მაინც წამყვანი ადგილი ჩრდილოური (ჩ, ჩდ და ჩა) ექსპოზიციის მყინვარებს უკავიათ, შემდეგ მოდის სამხრეთული (ს, სდ და სა) ექსპოზიციის მყინვარები.

ჩრდილოური ექსპოზიციის მყინვარები უმთავრესად განლაგებულია კავკასიონის შტო ქედებზე, რომელთა მიმართულება განედურია ან სუბმერიდიანული და ეს მყინვარები მცირე ფართობებით ხსიათდება [3].

მდ. ენგურის აუზის დიდი მყინვარები განლაგებულია კავკასიონის სამხრეთ ფერდობზე და ბუნებრივია, რომ მათი ექსპოზიცია სამხრეთულია.

ამგვარად, ჩრდილოური ექსპოზიციის მყინვარების რაოდენობა მეტია სამხრეთული ექსპოზიციის მყინვარებზე, თუმცა ჩრდილოური ექსპოზიციის მყინვარების ფართობები გაცილებით ნაკლებია სამხრეთული ექსპოზიციის მქონე მყინვარების ფართობებზე.

3.3. მდ. ხობისწყლის აუზი

მდ. ხობისწყლის აუზში კატალოგით სულ ორი მყინვარია: №333 და №334. №333 მყინვარი კატალოგის მიხედვით ხეობის მორფოლოგიური ტიპის აღმოსავლეთის ექსპოზიციის მყინვარია, თუმცა ტოპოგრაფიული რუკის მიხედვით იგი კარული ტიპისაა და თდზ-ის მიხედვით ჩრდილო-აღმოსავლეთის ექსპოზიციის. 2010 წლისათვის ეს მყინვარი უკვე გამქრალია.

№334 მყინვარი კატალოგის მიხედვით აღმოსავლეთის ექსპოზიციის კარულ-ხეობის მორფოლოგიური ტიპის მყინვარია, რომელიც 2010 წლისათვის დაიმალა ჩრდილო-აღმოსავლეთის ექსპოზიციის კარულ-ხეობის და კარულ ორ მცირე მყინვარად, და ოთხ თოვლნარად. შემდეგ ორ ვადაზე თდზ-ის მონაცემებით №333 მყინვარიდან დარჩა ჩრდილო-აღმოსავლეთის ექსპოზიციის კარულ-ხეობის მორფოლოგიის ერთი მცირე მყინვარი და ხუთი თოვლნარი, რომელთა ფართობები დროში იკლებს.

ამჟამად მდინარე ხობისწყლის აუზში სულ ერთი ჩრდილო-აღმოსავლეთის ექსპოზიციის, კარულ-ხეობის მორფოლოგიური ტიპის 0.1 კმ² მცირე მყინვარილა დარჩენილი.

3.4. მდ. რიონის აუზის მყინვარების და თოვლნარების მორფოლოგიური ტიპები და ზოგადი ექსპოზიცია

მდ. რიონის აუზის მყინვარების მორფოლოგიური ტიპების განაწილებას შესწავლის ოთხი ვადისათვის, რაოდენობისა და ფართობების მიხედვით წარმოდგენილია მე-10 ცხრილში [8].

ცხრილი 10. მდ. რიონის აუზის მყინვარების განაწილება მორფოლოგიური ტიპების მიხედვით კატალოგის თდზ 1-ის (2010 წ.) თდზ 2 (2015 წ.),
თდზ 3 (2020 წ.) მონაცემებით რაოდენობისა და ფართობის მიხედვით.

| მონაცემები | მორფოლოგიური ტიპები | | | | | | | |
|------------|---------------------|-------|--------------|-------|--------|-------|----------|-------|
| | კარული | | კარულ-ხეობის | | ხეობის | | დაკიდული | |
| | რაოდ. | ფართ. | რაოდ. | ფართ. | რაოდ. | ფარდ. | რაოდ. | ფართ. |
| კატალოგით | 15 | 5,1 | 3 | 2,8 | 49 | 60,8 | 8 | 2,0 |
| თდზ 1 | 18 | 3,3 | 4 | 0,9 | 39 | 47,9 | 29 | 5,0 |
| თდზ 2 | 10 | 1,9 | 3 | 0,8 | 40 | 38,9 | 25 | 4,2 |
| თდზ 3 | 9 | 1,0 | 2 | 0,7 | 40 | 36,7 | 22 | 2,8 |

ყველაზე დიდი რაოდენობით კატალოგის მიხედვით არის ხეობის ტიპის მყინვარები, სულ 49. ხეობის ტიპის მყინვარი ძირითადად ინარჩუნებს თავის მორფოლოგიას, თუმცა შეიძლება დანაწევრდეს ხეობის, კარულ და დაკიდულ მყინვარად, აგრეთვე ერთ ან რამდენიმე თოვლნარად.

თდზ-ის 2010, 2015 და 2020 წლების მონაცემებით კარული ტიპის მყინვარები დეგრადირდება, ხდება მათი დანაწევრება, მცირე მყინვარების და თოვლნარების გამოყოფა.

კარულ-ხეობის ტიპის მყინვარები ინარჩუნებს თავის მორფოლოგიას, თუმცა წლების მიხედვით თანმიმდევრულად იკლებს დაკავებული ფართობი და რამდენიმე შემთხვევაში გადადის თოვლნარში.

ასევე ინარჩუნებს თავის მორფოლოგიას დაკიდული მყინვარიც, თუმცა დროთა განმავლობაში იკლებს მისი ფართობი, ზოგჯერ გადადის თოვლნარში ან ქრება.

ყველა მორფოლოგიური ტიპის მყინვარის რაოდენობა 2010 წლისათვის მატულობს, მყინვარების დეგრადაციის გამო, გარდა ხეობის ტიპის მყინვარებისა, რაც მათი მორფოლოგიითაა განპირობებული. ხეობის ტიპის მყინვარები განლაგებული არიან კავკასიონის სამხრეთ ფერდობზე, ხოლო კარული ტიპისა კი, ძირითადად შტო ქედებზე [3].

მე-11 ცხრილში წარმოდგენილია მდ. რიონის აუზის მყინვარების ოთხი ვადისათვის შესწავლის, ზოგადი ექსპოზიციის განაწილების ცხრილი.

როგორც ცხრილიდან ჩანს მდ. რიონის აუზის მყინვარების ზოგადი ექსპოზიციის უპირატესი მიმართულება კატალოგით არის სამხრეთის, ხოლო თდზ-ის მიხედვით სამივე ვადისათვის სამხრეთ-დასავლეთის. მათ მიერ დაკავებული ტერიტორიებიც უფრო მეტია.

მდ. რიონის აუზში, ყველა ვადაზე, სამხრეთული ექსპოზიციის მყინვარები გაცილებით მეტია ჩრდილოური ექსპოზიციის მყინვარებთან შედარებით და მათ წამყვანი ადგილი უკავიათ, როგორც რაოდენობის, ისე ფართობების მიხედვით.

ცხრილი 11. მდ. რიონის აუზის მყინვარების განაწილება ზოგადი ექსპოზიციის მიხედვით კატალოგის, თდზ 1-ის (2010 წ.), თდზ 2 (2015 წ.), თდზ 3 (2020 წ.) მონაცემებით.

| მონაცემები | ზოგადი ექსპოზიცია | | | | | | | | | | | | | | | |
|------------|--------------------|---------|---------|---------|---------|---------|---------|---------|---------|---------|---------|---------|---------|---------|----|-----|
| | კატალოგის მიხედვით | | | | | | | | | | | | | | | |
| | ჩ | | ს | | დ | | ა | | ჩდ | | ჩა | | სდ | | | |
| | რაოდენ. | ფართობი | რაოდენ. | ფართობი | რაოდენ. | ფართობი | რაოდენ. | ფართობი | რაოდენ. | ფართობი | რაოდენ. | ფართობი | რაოდენ. | ფართობი | | |
| კატალოგით | 5 | 0,7 | 23 | 17,5 | 7 | 7,8 | 10 | 6,1 | 3 | 1,8 | 7 | 3,3 | 14 | 39,0 | 6 | 4,5 |
| თდზ 1 | 1 | 0,1 | 21 | 11,9 | 5 | 5,4 | 9 | 3,9 | 6 | 1,4 | 8 | 2,3 | 26 | 23,4 | 12 | 4,8 |
| თდზ 2 | 0 | 0 | 18 | 10,4 | 5 | 4,9 | 7 | 4,1 | 5 | 1,1 | 9 | 1,8 | 25 | 20,0 | 9 | 3,5 |
| თდზ 3 | 0 | 0 | 18 | 8,7 | 4 | 4,6 | 7 | 3,2 | 4 | 0,8 | 8 | 1,4 | 23 | 18,3 | 7 | 2,9 |

უკვე აღვნიშნეთ, რომ მყინვარების დეგრადაცია იწვევს თოვლნარების რაოდენობის ზრდას. ყველა თოვლნარი კარული ან დაკიდული მორფოლოგიისაა. კატალოგით მდ. რიონის ხეობაში არსებული 75 მყინვარიდან 2010 წლის თანამგზავრული მონაცემებით წარმოიქმნა 24 თოვლნარი და გაქრა 3 მყინვარი, მაგრამ 2015 წლის მონაცემით მდ. რიონის ხეობაში 49 თოვლნარი და 13 გამქრალი მყინვარია. 2020 წლისათვის დარჩა 42 თოვლნარი და ჯამურად გაქრა 25 მყინვარი (ცხრილი 12). ასე, რომ 2010 წლიდან მდ. რიონის აუზში თოვლნარებისა და გამქრალი მყინვარების რაოდენობა ინტენსიურად იზრდება.

ცხრილი 12. მდ. რიონის მყინვარული აუზის თოვლნარებისა და გამქრალი მყინვარების განაწილება თდზ 1-ის (2010 წ.) თდზ 2 (2015 წ.), თდზ 3 (2020 წ.) მონაცემებით.

| მონაცემები | თოვლნარები | გამქრალი მყინვარები |
|------------|------------|---------------------|
| თდზ 1 | 24 | 3 |
| თდზ 2 | 49 | 13 |
| თდზ 3 | 42 | 25 |

მნიშვნელოვანია აღნიშვნა, რომ კლიმატის ცვლილებით განპირობებული მყინვარების დეგრადაციის შედეგად წარმოქმნილი თოვლნარებიდან 2010 წელს ყველაზე მეტი, 8 თოვლნარი იყო სამხრეთის ექსპოზიციის, თუმცა 2020 წლისათვის ყველაზე მეტი, 13 თოვლნარი, სამხრეთ-დასავლეთის ექსპოზიციისაა (ცხრილი 13).

ცხრილი 13. მდ. რიონის მყინვარული აუზის თოვლნარების განაწილება ზოგადი ექსპოზიციის მიხედვით თდზ 1-ის (2010 წ.) თდზ 2 (2015 წ.),
თდზ 3 (2020 წ.) მონაცემებით.

| მონაცემები | თოვლნარების ზოგადი ექსპოზიცია | | | | | | | |
|------------|-------------------------------|----|---|---|----|----|----|----|
| | ჩ | ს | დ | ა | ჩდ | ჩა | სდ | სა |
| თდზ 1 | 0 | 8 | 0 | 2 | 0 | 2 | 7 | 4 |
| თდზ 2 | 1 | 11 | 0 | 6 | 5 | 3 | 18 | 9 |
| თდზ 3 | 1 | 11 | 0 | 4 | 0 | 3 | 13 | 10 |

შევისწავლეთ რა მდ. რიონის მყინვარული აუზის მყინვარებზე და თოვლნარებზე კლიმატის ცვლილების გავლენა დავასკვენით, რომ მდ. რიონის მყინვარულ აუზის ყველა მორფოლოგიური ტიპის მყინვარის რაოდენობა 2010 წლისათვის მატულობს მყინვარების დეგრადაციის გამო, გარდა ხეობის ტიპის მყინვარებისა, რაც მათი მორფოლოგიითაა გან-პირობებული, თუმცა მათ მიერ დაკავებული ფართობები 2010 წელთან შედარებით თან-მიმდევრულად იკლებს.

მდ. რიონის მყინვარული აუზის მყინვარებზე და თოვლნარებზე კლიმატის მიმდინა-რე ცვლილების ზემოქმედების შედეგია, რომ მყინვარების ფართობები ყველა ექსპოზიცი-ის მყინვარისათვის კატალოგის მონაცემებთან შედარებით 2010 წლიდან მოყოლებული თანმიმდევრულად იკლებს.

მდ. რიონის აუზის მყინვარების ზოგადი ექსპოზიციის უპირატესი მიმართულება კა-ტალოგით არის სამხრეთის, ხოლო თდზ-ის მიხედვით სამივე ვადისათვის სამხრეთ-და-სავლეთის. იგივეა თოვლნარების შემთხვევაშიც. ბუნებრივია, რომ ეს მიმართულება (სამ-ხრეთ-დასავლეთის) ემთხვევა მდ. რიონის მყინვარულ აუზში ჰაერის მასების შემოჭრას, რაც განაპირობებს ამ მთაიან რეგიონებში იმ სინოპტიკური პროცესების განვითარებას, რომლებიც დაკავშირებულია უხვი ნალექების მოსვლასთან.

დასკვნები

ამგვარად შეიძლება დავასკვნათ, რომ:

- აფხაზეთის ტერიტორიაზე კლიმატის მიმდინარე ცვლილების გავლენით 2010 წლი-სათვის კარული და დაკიდული მყინვარების რაოდენობის ზრდა განპირობებული იყო მყინვარების დანაწევრებით და მცირე მყინვარების გამოყოფით. ეს პროცესი შემ-დგომშიც გაგრძელდა და 2010 წლიდან მათი რაოდენობა თანმიმდევრულად შემცირ-და. უნდა აღინიშნოს, რომ უცვლელი რჩება ხეობისა და კარულ-ხეობის ტიპის მყინვა-რების რაოდენობა, რაც განპირობებულია მათი მორფოლოგიური თავისებურებით, თუმცა ამ მყინვარების მიერ დაკავებული ფართობები 2010 წელთან შედარებით ასევე თანმიმდევრულად შემცირდა. 2010 წლიდან აფხაზეთის ყველა მორფოლოგიური ტი-პის მყინვარის მიერ დაკავებული ფართობი მცირდება, რაც უშუალოდ კლიმატის მიმ-დინარე ცვლილებას უკავშირდება.
- მდ. ენგურის აუზში კატალოგის მიხედვით ყველაზე დიდი რაოდენობითაა წარმოდ-გნილი ხეობის ტიპის მყინვარები, შემდეგ მოდის კარულ-ხეობის და კიდევ უფრო ნაკლები – კარული. ყველაზე ნაკლები რაოდენობითაა დაკიდული მყინვარები. 2010 წელს ხეობის ტიპის მყინვარების რაოდენობამ მოიმატა მყინვარების დანაწევრების გა-მო. ხეობის ტიპის მყინვარი ძირითადად ინარჩუნებს თავის მორფოლოგიას, თუმცა შეიძლება დანაწევრდეს ხეობის, კარულ და დაკიდულ მყინვარად, აგრეთვე ერთ ან რამდენიმე თოვლნარად. თდზ-ის 2010, 2015 და 2020 წლების მონაცემებით კარული ტიპის მყინვარები დეგრადირდა, ხდება მათი დანაწევრება კარულ და დაკიდულ მცი-რე მყინვარებად, ზოგჯერ თოვლნარების გამოყოფით ან გაქრობით. კარულ-ხეობის ტიპის მყინვარები ძირითადად ინარჩუნებს თავის მორფოლოგიას, ზოგჯერ ხდება მა-თი დანაწევრება კარულ და დაკიდულ მცირე მყინვარებად. თუმცა წლების მიხედვით თანმიმდევრულად იკლებს მათ მიერ დაკავებული ფართობი და რამდენიმე შემთხვე-ვაში გადადის თოვლნარში ან ქრება. ასევე ინარჩუნებს თავის მორფოლოგიას დაკი-

დული მყინვარიც, თუმცა დროთა განმავლობაში იკლებს მისი ფართობი, ზოგჯერ გა-დადის თოვლნარში ან ქრება. 2010 წლისათვის მყინვარების დეგრადაციის გამო ყველა მორფოლოგიური ტიპის მყინვარის რაოდენობა მატულობს, მაგრამ შემდეგ პერიოდებში შესაბამისად, ხდება მყინვარებით დაკავებული ჯამური ფართობების კლება.

- ამჟამად ძღვის ხეობის აუზში სულ ერთი ჩრდილო-აღმოსავლეთის ექსპოზიციის, კარულ-ხეობის მორფოლოგიური ტიპის 0.1 კმ^2 მცირე მყინვარიდაა დარჩენილი.
- ძღვის აუზში ყველაზე დიდი რაოდენობით კატალოგის მიხედვით არის ხეობის ტიპის მყინვარები, სულ 49. ხეობის ტიპის მყინვარი ძირითადად ინარჩუნებს თავის მორფოლოგიას, თუმცა შეიძლება დანაწევრდეს ხეობის, კარულ და დაკიდულ მყინვა-რად, აგრეთვე ერთ ან რამდენიმე თოვლნარად. თდზ-ის 2010, 2015 და 2020 წლების მონაცემებით კარული ტიპის მყინვარები დეგრადირდება, ხდება მათი დანაწევრება, მცირე მყინვარების და თოვლნარების გამოყოფა. კარულ-ხეობის ტიპის მყინვარები ინარჩუნებს თავის მორფოლოგიას, თუმცა წლების მიხედვით თანმიმდევრულად იკ-ლებს დაკავებული ფართობი და რამდენიმე შემთხვევაში გადადის თოვლნარში. ასევე ინარჩუნებს თავის მორფოლოგიას დაკიდული მყინვარიც, თუმცა დროთა განმავლო-ბაში იკლებს მისი ფართობი, ზოგჯერ გადადის თოვლნარში ან ქრება. ყველა მორფო-ლოგიური ტიპის მყინვარის რაოდენობა 2010 წლისათვის მატულობს, მყინვარების დეგრადაციის გამო, გარდა ხეობის ტიპის მყინვარებისა, რაც მათი მორფოლოგიითაა განპირობებული. ხეობის ტიპის მყინვარები განლაგებული არიან კავკასიონის სამ-ხრეთ ფერდობზე, ხოლო კარული ტიპისა კი, ძირითადად შტო ქედებზე.
- აფხაზეთის 136 მყინვარიდან 120 კოდორის აუზშია (ცხრილი 1). კოდორის აუზი კავკა-სიონის სამხრეთ ფერდობზე მდებარეობს და მყინვარებიც ძირითადად სამხრეთული ექსპოზიციის (ს, სდ და სა) უნდა იყვნენ, თუმცა როგორც მე-4 ცხრილიდან ჩანს ოთხი-ვე ვადაზე ჩრდილოური ექსპოზიციის (ჩ, ჩდ და ჩა) მყინვარების რაოდენობა სჭარ-ბობს. კატალოგის მიხედვით, ჩრდილოური ექსპოზიციის მყინვარების მიერ დაკავე-ბული ფართობებიც მეტია, თუმცა 2010 წლიდან უკვე, სამხრეთული ექსპოზიციის მყინვარებით დაკავებული ფართობებია მეტი. ჩრდილოური ექსპოზიციის მყინვარე-ბის უპირატესი გავრცელება აიხსნება მათი მდებარეობით კავკასიონის შტო ქედებზე, რომელთა მიმართულება განედური ან სუბგანედურია და ეს მყინვარები 2010 წლიდან უფრო მცირე ფართობებით ხასიათდებიან, ვიდრე სამხრეთული ექსპოზიციის მყინვა-რები. მნიშვნელოვანია იმის აღნიშვნა, რომ კლიმატის ცვლილებით განპირობებული მყინვარების დეგრადაციის შედეგად წარმოქმნილი თოვლნარებიდან 2020 წლისათვის ყველაზე მეტად მოიმატა ჩრდილოეთის ექსპოზიციის თოვლნარების რაოდენობამ.
- აფხაზეთის მყინვარების ზოგადი ექსპოზიციის უპირატესი მიმართულება, როგორც კატალოგით, ისე თდზ-ის მიხედვით სამივე პერიოდში ჩრდილო-დასავლეთის და და-სავლეთისაა. ბუნებრივია, რომ ეს მიმართულებები ემთხვევა აფხაზეთის მხრიდან სა-ქართველოში ჰაერის მასების შემოჭრას, რაც განაპირობებს აფხაზეთის მთიან რეგიო-ნებში სინოპტიკური პროცესების განვითარებას, რომლებიც დაკავშირებულია უხვი ნალექების მოსვლასთან.
- ძღვის აუზში გამყინვარების უმთავრეს კერას კავკასიონის სამხრეთ ფერდობი წარმოადგენს, მაგრამ რაოდენობის მიხედვით მაინც წამყვანი ადგილი ჩრდილოური ექსპოზიციის მყინვარებს უკავიათ, შემდეგ მოდიან სამხრეთული ექსპოზიციის მყინ-

- ვარები. იგივეა თოვლნარების შემთხვევაშიც. ჩრდილოური ექსპოზიციის მყინვარები უმთავრესად განლაგებულია კავკასიონის შტო ქედებზე, რომელთა მიმართულება განედურია ან სუბმერიდიანული და ეს მყინვარები მცირე ფართობებით ხასიათდება. მდ. ენგურის აუზის დიდი მყინვარები განლაგებულია კავკასიონის სამხრეთ ფერდობზე და ბუნებრივია მათი ექსპოზიცია სამხრეთულია. ამგვარად, ჩრდილოური ექსპოზიციის მყინვარების რაოდენობა მეტია სამხრეთული ექსპოზიციის მყინვარების ფართობები გაცილებით ნაკლებია სამხრეთული ექსპოზიციის მქონე მყინვარების ფართობებზე.
- მდ. ენგურის აუზის მყინვარების ზოგადი ექსპოზიციის უპირატესი მიმართულება როგორც კატალოგით, ისე თდზ-ის მიხედვით სამივე ვადისათვის არის ჩრდილოეთის, შემდეგ – სამხრეთის. ყველაზე მეტი ფართობი უკავიათ სამხრეთის და სამხრეთ-დასავლეთის ექსპოზიციის მყინვარებს. ბუნებრივია, რომ ეს მიმართულებები (სამხრეთის და სამხრეთ-დასავლეთის) ემთხვევა მდ. ენგურის მყინვარულ აუზში ჰაერის მასების შემოჭრის უპირატეს მიმართულებას, რაც განაპირობებს ამ მთიან რეგიონებში იმ სინოპტიკური პროცესების განვითარებას, რომლებიც დაკავშირებულია უხვი ნალექების მოსვლასთან, მყინვარების კვებასა და განვითარებასთან.
 - მდ. რიონის აუზის მყინვარების ზოგადი ექსპოზიციის უპირატესი მიმართულება კატალოგით არის სამხრეთის, ხოლო თდზ-ის მიხედვით სამივე ვადისათვის სამხრეთ-დასავლეთის. იგივეა თოვლნარების შემთხვევაშიც. ბუნებრივია, რომ ეს მიმართულება (სამხრეთ-დასავლეთის) ემთხვევა მდ. რიონის მყინვარულ აუზში ჰაერის მასების შემოჭრას, რაც განაპირობებს ამ მთიან რეგიონებში იმ სინოპტიკური პროცესების განვითარებას, რომლებიც დაკავშირებულია უხვი ნალექების მოსვლასთან.
 - მდ. რიონის აუზში, ყველა ვადაზე, სამხრეთული ექსპოზიციის მყინვარები გაცილებით მეტია ჩრდილოური ექსპოზიციის მყინვარებთან შედარებით და მათ წამყვანი ადგილი უკავიათ, როგორც რაოდენობის, ისე ფართობების მიხედვით.
 - დასავლეთ საქართველოს მყინვარები მდებარეობენ დიდი კავკასიონის ქედის სამხრეთ ფერდობზე, მაგრამ რაოდენობის მიხედვით წამყვანი ადგილი ჩრდილოური ექსპოზიციის მცირე ფართობის მყინვარებს უკავიათ, რომლებიც განლაგებული არიან კავკასიონის შტო ქედებზე. დიდი მყინვარები მდებარეობენ სამხრეთ ფერდობზე, ამდენად მათი ექსპოზიცია სამხრეთულია და მათი რაოდენობა ნაკლებია, თუმცა მათ მიერ დაკავებული ფართობები გაცილებით მეტია ჩრდილოური ექსპოზიციის მქონე მყინვარების ფართობებზე.

მადლობა

კვლევა შესრულებულია შოთა რუსთაველის საქართველოს ეროვნული სამეცნიერო ფონდის მხარდაჭერილი პროექტის FR-21-1996 ფარგლებში.

ლიტერატურა – References – Литература

1. Kordzakhia G. I., Shengelia L. D., Tvauri G. A., Dzadzamia M. Sh. The climate change impact on the glaciers of Georgia. In Journal-World Science, 1, 4(44), Warsaw, Poland, 2019, pp. 29-34.

2. Маруашвили Л. И., Курдгелаидзе Г. М., Лашхи Т. А., Инашвили Ш. В. Каталог Ледников СССР. Т. 9, вып. 1, ч. 2-6, Закавказье и Дагестан, Л: Гидрометеоиздат, 1975, 86 с.
3. გობეჯიშვილი რ., კოტლიავოვი ვ. გლაციოლოგია. 2006, თბ.: უნივერსალი, გვ. 291.
4. Tielidze L.G., Kumladze R., Asanidze L. Glaciers Reduction and Climate Change Impact over the Last One Century in the Mulkhura River Basin, Caucasus Mountains, Georgia. International Journal of Geosciences, 6, 2015, pp. 465-472.
5. შენგელია ლ., კორძახია გ., თვაური გ., გულიაშვილი გ. ბოლო ათწლეულში აფხაზეთის ავტონომიურ რესპუბლიკაში მდებარე მყინვარების მორფოლოგიასა და ექსპოზიციაზე თანამგზავრული დისტანციური დაკვირვების შედეგები. საგამომცემლო სახლი „ტექნიკური უნივერსიტეტი“, „მეცნიერება და ტექნოლოგიები“, სამეცნიერო რეფერირებადი ჟურნალი, №3 (740), თბ. 2022, გვ. 28-38.
6. Kordzakhia G., Shengelia L., Tvauri G., Dumbadze G. Morphology and Exposure Studies in the Autonomous Republic of Abkhazia (West Georgia) on the Background of Modern Climate Change. 3RD International Congress on Engineering and Life Science (ICELIS), Proceedings book, 20-22 September 2023, Trabzon/Türkiye. Republic of Türkiye Karadeniz Technical University, 2023, pp. 51–58.
7. შენგელია ლ., კორძახია გ., თვაური გ., გულიაშვილი გ., მაძამია მ. მდინარე ენგურის აუზის მყინვარებისა და თოვლნარების მორფოლოგიისა და ექსპოზიციის კვლევა თანამგზავრული დისტანციური დაკვირვებების გამოყენებით. სამეცნიერო რეფერირებადი ჟურნალი „მეცნიერება და ტექნოლოგიები“, №3 (746), 2024, გვ. 7–13.
8. შენგელია ლ., კორძახია გ., თვაური გ., გულიაშვილი გ., მაძამია მ. მდ. რიონის აუზში მდებარე მყინვარების მორფოლოგიაზე და ექსპოზიციაზე თანამგზავრული დისტანციური დაკვირვების შედეგები. საერთაშორისო სამეცნიერო კონფერენცია „კომპლექსური გეოფიზიკური მონიტორინგი საქართველოში: ისტორია, თანამედროვე პრობლემები, ქვეყნის მდგრადი განვითარების ხელშეწყობა“ თბილისი, საქართველო, 17-19 ოქტომბერი, 2024 წ. ეძღვნება საქართველოზე რეგულარული მაგნიტურ-მეტეოროლოგიური დაკვირვებების ორგანიზების 180-ე წლისთავს, შრომები, 2024, გვ. 40–44.

**დასავლეთ საქართველოს მყინვარული აუზების მყინვარების და თოვლნარების
მორფოლოგიისა და ექსპოზიციის შესწავლის შედეგები თანამგზავრული
დისტანციური დაკვირვების საფუძველზე**

შენგელია ლ., კორძახია გ., თვაური გ., გულიაშვილი გ., მაძამია მ.

რეზიუმე

სტატიაში წარმოდგენილია დასავლეთ საქართველოს მყინვარული აუზების მყინვარებისა და თოვლნარების მორფოლოგიისა და ექსპოზიციის კვლევის შედეგები კატალოგისა და თანამგზავრული დისტანციური დაკვირვების 2010, 2015 და 2020 წლების მონაცემების მიხედვით. გამოყენებულია მყინვარების ექსპოზიციის დადგნის თანამედროვე მეთოდი, რომელიც აპრობირებულია და მიღებულია მსოფლიოში, ეს მეთოდი პრაქტიკულად გამორიცხავს შეცდომებს მყინვარების ექსპოზიციის შესწავლის დროს. მოყვანილია კლიმატის მიმდინარე ცვლილების შედეგად დასავლეთ საქართველოს მყინვარული აუზების სხვადასხვა მორფოლოგიური ტიპებისა და ექსპოზიციის მქონე მყინვარებისა და თოვლნარების რაოდენობისა და ფართობების ცვლილების შესწავლის შედეგები.

საკვანძო სიტყვები: დასავლეთ საქართველო, თანამგზავრული დისტანციური ზონდირება, კლიმატის ცვლილება, მორფოლოგია და ექსპოზიცია, მყინვარები და თოვლნარები.

**RESULTS OF THE STUDY OF THE MORPHOLOGY AND EXPOSURE
OF GLACIERS AND SNOWFIELDS OF THE GLACIAL BASINS OF WESTERN
GEORGIA BASED ON SATELLITE REMOTE SENSING**

Shengelia L., Kordzakhia G., Tvauri G., Guliashvili G., Dzadzamia M.

Abstract

The article presents the results of the study of the morphology and exposure of glaciers and snowfields of the glacial basins of western Georgia according to the catalogue and satellite remote sensing data for 2010, 2015 and 2020. A modern method for determining the exposure of glaciers has been used, which is tested and accepted worldwide; this method practically eliminates errors when studying the exposure of glaciers. The results of changes in the number and areas of various morphological types and exposed glaciers and snowfields of the glacial basins of western Georgia as a result of ongoing climate change are presented.

Key words: climate change, glaciers and snowfields, morphology and exposure, satellite remote sensing, Western Georgia.

**РЕЗУЛЬТАТЫ ИЗУЧЕНИЯ МОРФОЛОГИИ И ЭКСПОЗИЦИИ ЛЕДНИКОВ И
СНЕЖНИКОВ ЛЕДНИКОВЫХ БАССЕЙНОВ ЗАПАДНОЙ ГРУЗИИ
НА ОСНОВЕ СПУТНИКОВОГО ДИСТАНЦИОННОГО ЗОНДИРОВАНИЯ**

Шенгелия Л., Кордзахия Г., Тваури Г., Гулиашвили Г., Дзадзамиа М.

Реферат

В статье представлены результаты изучения морфологии и экспозиции ледников и снежников ледниковых бассейнов Западной Грузии по данным каталога и спутникового дистанционного зондирования за 2010, 2015 и 2020 годы. Использован современный метод определения экспозиции ледников, который апробирован и принят в мировой практике, что практически исключает ошибки при изучении экспозиции ледников. Представлены результаты изменения количества и площадей различных морфологических типов и экспонированных ледников и снежников ледниковых бассейнов Западной Грузии в результате современного изменения климата.

Ключевые слова: Западная Грузия, изменение климата, ледники и снежники, морфология и экспозиция, спутниковое дистанционное зондирование.